



した結果は次の様である。主流に流入する支流中心の軌跡は支流出口から支流の最大貫入点 ( $x_{max}, y_{max}$ ) までは図-2の様に任意の  $B/D, Q_0/Q_0$  に対して相似性が見られその関係は式(1)の様に示される。図-2中の曲線は式(1)によるものである。

$$\left(\frac{y}{y_{max}}\right)^2 + \left(\frac{x}{x_{max}} - 1\right)^2 = 1 \quad (1)$$

式(1)は軌跡を  $x_{max}, y_{max}$  により標準化したものであり、これらは次の様にして求める。

ii)  $y_{max}$  図-1中の断面ⅠとⅢに着目し、 $x$ 方向の運動量を考える。支流の方向は $90^\circ$ 曲げられてもその運動量は保存されると考えると、

$$\frac{\omega}{2} h_0^2 B + \rho Q_0 u_0 = \frac{\omega}{2} h_s^2 B + \rho Q_0 u_s + \rho Q_1 u_1 \quad (2)$$

ベルヌーイ式は

$$h_0 + \frac{u_0^2}{2g} = (h_T) = h_s + (1 + f_s) \frac{u_s^2}{2g} \quad (3)$$

また断面Ⅲにおいて主流は支流の影響で単に中が縮小されて流積が減少し、かつ支流と主流の流量比に等しいだけ平均的に流速が増大すると仮定すると連続の式は

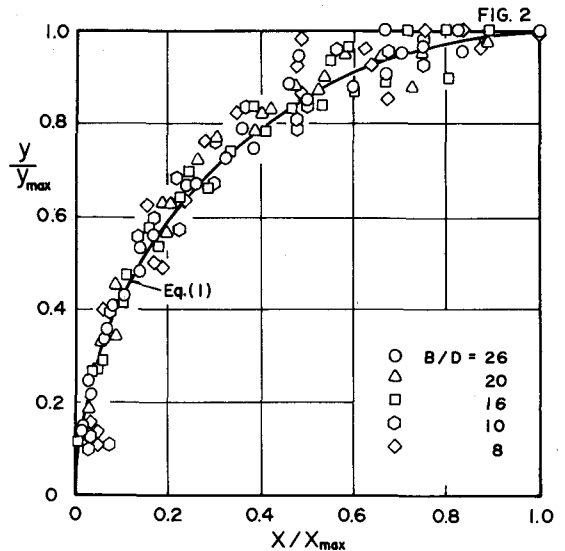
$$Q_0 = (B - y_{max}) h_s \left(1 + \frac{Q_1}{Q_0}\right) u_s \quad (4)$$

以上の(2), (3), (4)式中の未知数は  $y_{max}, h_s, u_s$  の3個であり、各々の値を決定することが出来る。 $f_s$ は断面Ⅲにおける速度水頭に対する補正係数であり、実験結果と比較して  $f_s = 0.1$  である事を知った。(4)式において行は、た仮定は、次のような考察を行は、く実験により補正項と定めた結果である。断面Ⅲにおける平均の流速を2つの成分の和と考える。即ち支流の中心線と境界と考えると、主流の中が縮小して流速が増大し更にこれと支流が加速すると考える。更に後者の加速による主流流速の増加分は支流と主流の流量比が増すに従、く増大するものと考えられ、べき乗の関数形を仮定して定数の決定を行は、た結果、前述の流量比に関して一次の関係を得た。<sup>4)</sup>

iii)  $x_{max}$  断面ⅡとⅢに囲まれた部分について  $y$  方向の運動量式を適用すると、

$$\rho Q_1 u_1 + \frac{\omega}{2} h_1^2 D + \frac{\omega}{2} \int_{\frac{D}{2}}^{x_{max}} \{h(x, 0)\}^2 dx = \frac{\omega}{2} \int_{-\frac{D}{2}}^{x_{max}} \{h(x, B)\}^2 dx \quad (5)$$

断面Ⅱにおける水面形は実験結果から  $y=0$  で最大 ( $h=h_T$ ) であり上流部の比エネルギーに等しく、 $y=0 \sim y_{max}$  までは直線的に減少し以後は一定値 ( $h=h_g$ ) をとる事を知った。この水面形は後に述べる様に断面Ⅰとの間に連続式及びベルヌーイ式を適用して求める事が出来る。以上の事から(5)式中の  $h(x, y=0)$  及び  $h(x, y=B)$  を断面Ⅱから断面Ⅲまで(6), (7)式の様に直線的に変化すると仮定すると(5)式から  $x_{max}$  の値と求める事が出来る。



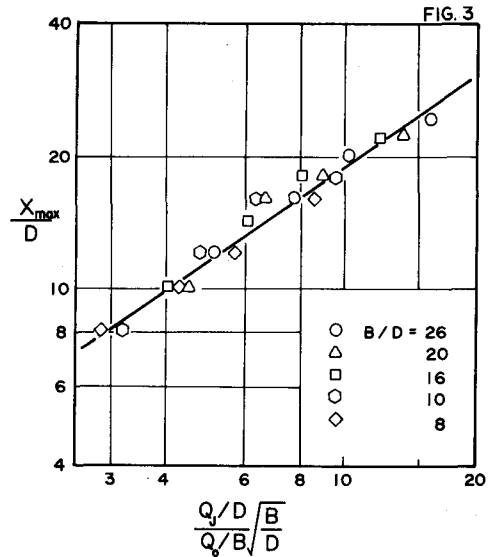
$$h(x, 0) = h_T - (h_T - h_s) \frac{x}{x_{max}} \quad (6)$$

$$h(x, B) = h_g - (h_g - h_s) \frac{x}{x_{max}} \quad (7)$$

この  $x_{max}$  に関しては現在のところ実験による検討が不十分であり、仮定の適否が明確ではない。実用的には  $x_{max}$  に関して (8) 式による実験式を得ている。

$$\frac{x_{max}}{D} = 3.8 \left( \frac{Q_T/D}{Q_0/B} \sqrt{\frac{B}{D}} \right)^{0.7} \quad (8)$$

図-3は(8)式と実測値と比較して示したものである。



### 3. 主流の水面形

断面Iは合流点の充分上流であり支流の流入による影響を受けぬ断面である。流れは等流状態であり、水深は等流水深  $h_0$  で一様である。断面II ( $x = -D/2$ ) では、実験結果からよみみ点  $y=0$  で最大 ( $h = h_T$ ) であり、この値は前述の断面Iにおける比エネルギーに等しく  $y=0 \sim y_{max}$  までは直線的に減少し、以後は一定値をとる事を知った。

$$h\left(-\frac{D}{2}, y\right) = \begin{cases} h_T - (h_T - h_g) \frac{y}{y_{max}} & (0 \leq y \leq y_{max}) \\ h_g & (y_{max} < y \leq B) \end{cases} \quad (9)$$

断面I, II間ごのベルヌーイの式及び連続の式は

$$h_0 + \frac{U_0^2}{2g} = h_T = h_g + \frac{U_g^2}{2g} = h + \frac{U^2}{2g} \quad (10), \quad Q_0 = (B - y_{max}) h_g U_g + \int_0^{y_{max}} h U dy \quad (11)$$

(9), (10), (11) 式から (12) 式が得られ、2. ii) の  $y_{max}$  及び断面Iごの比エネルギーから水面形が得られる。

$$\sqrt{2g(h_T - h_g)} \left\{ (B - y_{max}) h_g + \frac{2}{15} (2h_T + 3h_g) y_{max} \right\} = Q_0 \quad (12)$$

断面IIIは支流の最大貫入点であり、水深  $h_s$  は主流中ごの最小値となり、横断的にはほぼ一様である。この水深は 2. ii) で述べたように (2), (3), (4) 式から求める事が出来る。断面III以下は漸次水深が増加し、断面IVを経て主流流量に支流流量を加えた流量に対する等流水深に漸進していく。

### 4. 死水域の形状

合流点直下流に形成される死水域の形状を表わす代表的な量として Reattaching Point まごの距離  $L$  と死水域中ご流速が0となる点  $x_0$  での横断方向の距離の最大値  $y_E$  に着目して実験による解析を行なった。

i) Reattaching Point まごの距離 著者らは前回の報告<sup>1)</sup> (Rouse<sup>5)</sup> が低速風洞中で行なった実験との比較を行なった。その後行なった実験においても同様に  $Q_0/B$  と  $Q_0/B$  との比が大になるにつれ、また  $B/D$  が小になると従って系統的に相違が見られる事から主流の中ごの効果を考慮したパラメータによる解析を試みた。主流と支流の中ごの比をべき乗の形で取り入れた関数形を仮定し、実験によ

て定数の決定を行なった結果(13)式を得た。図-4は実測値と(13)式を比較して示したものである。

$$\frac{x_R}{D} = 3.2 \left( \frac{Q_1/D}{Q_0/B} \sqrt{\frac{B}{D}} \right)^{1.1} \quad (13)$$

ii) 逆流域の最大中 前述の死水域の長さと同様の取扱いを行なって(14)式を得た。図-5は実測値と比較したものである。

$$\frac{y_E}{D} = 0.23 \left( \frac{Q_1/D}{Q_0/B} \sqrt{\frac{B}{D}} \right)^{1.1} \quad (14)$$

iii) 逆流域の形状 2.i)で述べた様に、支流中心の軌跡が相似である事から逆流域の形状も相似である事が予想される。(13),(14)式から(15)式の関係を得る事が出来、死水域の形状についても相似性のある事が明らかとなった。

$$\frac{y_E}{x_R} = 0.07 \quad (15)$$

5. 流速分布及び合流による主流のエネルギー損失 前回の報告<sup>1),6)</sup>と同様の取扱いを行ない、川中の比がより小さい場合に対しても同様の結果を得た。流速のパラメータ $\sigma$ は $\sigma < 10$ では $\sigma \sim 5.5 \sim 6.0$ とはほぼ一定で、 $\sigma > 10$ では $\sigma \propto \sqrt{S}$ なる傾向がある。合流による主流のエネルギー損失はいずれの場合も非常に小さく、殆んど無視出来る程度であった。

本研究について懇切に御指導下さった岸 力教授に深く感謝致します。尚本研究は文部省科学研究(特定研究)「水理構造物の機能」(代表者東工大 吉川 秀夫教授)の一部である。

#### 参考文献

- 1) 板倉、石井：河川合流点における流れの機構の研究，第23回土木学会年講，1968
- 2) Anwar, H. : 石原・本間編，応用水理学，中II，丸善，昭和33年，pp.81~82
- 3) 新津、加藤：EP-カーテンの性能および設計に関する研究，衛生工業協会誌，第34巻，第12号，昭和35年2月
- 4) 板倉、石井：北海道大学工学部研究報告，第54号，昭和44年7月(投稿中)
- 5) Rouse, H. : Diffusion in the Lee of a Two-Dimensional Jet, Extracts of Proceedings, IX-th International Congress of Applied Mechanics, Vol. 1, pp. 307-315, 1957
- 6) 板倉、石井、増永：河川合流点における流れの機構の研究，第22回土木学会年講，1967

